

บทที่ 4

ผลการวิจัย

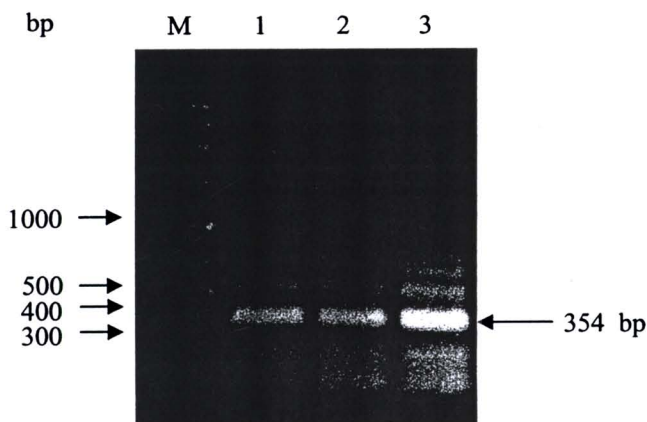
4.1 การคัดเลือกแบคทีเรียที่มีประสิทธิภาพสูงในการถ่ายอะคริลามิดเป็นกรดอะคริลิก

เมื่อนำแบคทีเรียที่สามารถใช้ประโยชน์จากอะคริลามิดที่คัดเลือกได้ในห้องปฏิบัติการชีวเคมีสิ่งแวดล้อมและจุลินทรีย์นำบัด ภาควิชาชีวเคมี คณะวิทยาศาสตร์ มหาวิทยาลัยบูรพา ทั้ง 5 สายพันธุ์ที่กล่าวมาแล้วในหัวข้อ 4.1 มาทำการเลี้ยงในอาหารเหลวเกลือต่ำที่มีอะคริลามิดเป็นแหล่งพลังงานเดียว และสังเกตการเจริญของแบคทีเรียร่วมกับการติดตามความสามารถในการถ่ายอะคริลามิดจากปริมาณของกรดอะคริลิกและแอมโมเนียที่เกิดขึ้น และปริมาณของอะคริลามิดที่ลดลงเมื่อวิเคราะห์โดยเทคนิค HPLC พบว่า *Enterobacter aerogenes* เป็นแบคทีเรียที่มีประสิทธิภาพสูงที่สุดในการถ่ายอะคริลามิดได้เป็นกรดอะคริลิก ภายในระยะเวลา 3 ชั่วโมง แรกของการเลี้ยงเจริญในอะคริลามิดที่ความเข้มข้น 0.5% (น้ำหนักต่อปริมาตร) และสามารถเจริญได้ดีที่สุดแม้ อุณหภูมิในสภาวะที่มีปริมาณอะคริลามิดสูงถึง 2.5% (น้ำหนักต่อปริมาตร) รองลงมาคือ *Kluyvera ascorbutica* และ *Kluyvera intermedia* ที่สามารถถ่ายอะคริลามิดได้ที่เวลา 6 ชั่วโมงของการเลี้ยงเจริญ ตามมาด้วย *Klebsiella pneumoniae* และ *Enterococcus faecalis* ที่ใช้เวลาในการถ่ายอะคริลามิดคือ 24 ชั่วโมง ด้วยเหตุนี้จึงเลือก *E. aerogenes* มาใช้ในการทำการทดลองต่อไป

4.2 การหาลำดับนิวคลีโอไทด์ของยีนอะลิฟาติกอะมิเดสของ *E. aerogenes*

เมื่อใช้ดีเจนเนอเรชีไฟรเมอร์ จำนวน 4 สาย ที่ออกแบบมาจากลำดับกรดอะมิโนบริเวณอนุรักษ์ของยีนอะมิโดไฮโดรเลสของ *Enterobacter spp.* มาハイบ์นอะลิฟาติกอะมิเดสใน *E. aerogenes* โดยเทคนิคพีซีอาร์ ซึ่งจะแบ่งคู่ดีเจนเนอเรชีไฟรเมอร์เป็น 2 คู่ คือ EnAmi1 + EnAmi2 และ EnAmi3 + EnAmi4 ทำปฏิกิริยาพีซีอาร์และโคลนพลิตกัณฑ์พีซีอาร์ที่ได้เข้าสู่ดีเอ็นเอพาหะ pUC118 ตามวิธีที่ได้อธิบายมาแล้วในหัวข้อ 4.2.2 พบว่า เมื่อใช้ดีเจนเนอเรชีไฟรเมอร์ที่ตัดด้วย *SpeI* ร่วมกับคู่ไฟรเมอร์ EnAmi3+EnAmi4 สามารถให้ผลิตกัณฑ์พีซีอาร์ขนาด 354 คู่เบส (ภาพที่ 2 และภาพที่ 3) ที่มีลำดับนิวคลีโอไทด์และลำดับกรดอะมิโนเหมือนกับເອນໄຊมีอะมิเดสของแบคทีเรียนในตระกูล Enterobacteriaceae เช่น *Klebsiella sp.* และ *Enterobacter sp.* ที่ร้อยละความเหมือนมากกว่า 85% (ตารางที่ 3 และตารางที่ 4) ขณะที่การใช้ดีเจนเนอเรชีไฟรเมอร์ที่ตัดด้วย *AhaI*, *ClaI* หรือ *SpeI* ร่วมกับคู่ไฟรเมอร์ EnAmi1+EnAmi2 ให้ผลิตกัณฑ์พีซีอาร์ขนาด 297 คู่เบส (ภาพที่ 4 และภาพที่ 5) ที่มีความเหมือนของลำดับ

นิวคลีโอไทด์และลำดับกรดอะมิโน ประมาณ 80% กับยีนอะมิเดสของแบคทีเรียในสกุลเดียวกัน (ตารางที่ 5 และตารางที่ 6) และเมื่อทำการเปรียบเทียบความเหมือน (Alignment) กับยีนอะมิเดสของ *Enterobacter* spp. พบว่า ลำดับนิวคลีโอไทด์ของผลิตภัณฑ์พีซีอาร์จากคู่ไฟรเมอร์ EnAmi1 + EnAmi2 และ EnAmi3 + EnAmi4 มีบริเวณครอบคลุมช่วงปลายอะมิโน (N-terminal) และปลายคาร์บอฟิลี (C-terminal) ของยีนอะมิเดสใน *Enterobacter* spp. ดังแสดงในภาพที่ 6



ภาพที่ 2 ผลิตภัณฑ์พีซีอาร์ที่หาได้เมื่อใช้คู่ดีเจนเนอเรชีไฟรเมอร์ EnAmi3 และ EnAmi4; ช่อง M = ดีเจ็นเอมาตรฐาน 100 bp ladder, ช่อง 1-3 = ผลิตภัณฑ์พีซีอาร์เมื่อใช้ดีเจ็นเอแม่แบบคือโครโนโซมอลดีเจ็นเอที่ตัดด้วยเอนไซม์ตัดจำเพาะ *Aha*I, *Pst*I และ *Spe*I ตามลำดับ

1	TGGCGTGGCTGGCGTATCCTGCCGCTGGTGTATTGACCTGCGCTCCGGTATGGTCG	60
	W R G W R I L P L V C Y D L R F P V W S	
61	CGTAACCACAACGATTACGACCTGGCGCTGTATGTCGCTAACTGGCCAGCCCCGGCTTCG	120
	R N H N D Y D L A L Y V A N W P A P R S	
121	CTGCACTGGCAATCGCTGGTCGCCAGAGCAATTGAAAACCAGGCCCTACGTCGCCGGC	180
	L H W Q S L L V A R A I E N Q A Y V A G	
181	TGCAACCGCGTCGGCACCGATGGTAACGGCCACCATTATCGGGCGATAGCCGTATCATC	240
	C N R V G T D G N G H H Y R G D S R I I	
241	AGCCCACAGGGAGAGATTATCGCTACCGCCGAACCGCATTACAGGCGACGCCGGCTCGATGCC	300
	S P Q G E I I A T A E P H Q A T R L D A	
301	GATCTGTCGTTGGCCGCGCTGCAGGAGTATCGCGAAAAATTCCCGGCCTGGCAA	354
	D L S L A A L Q E Y R E K F P A W Q	

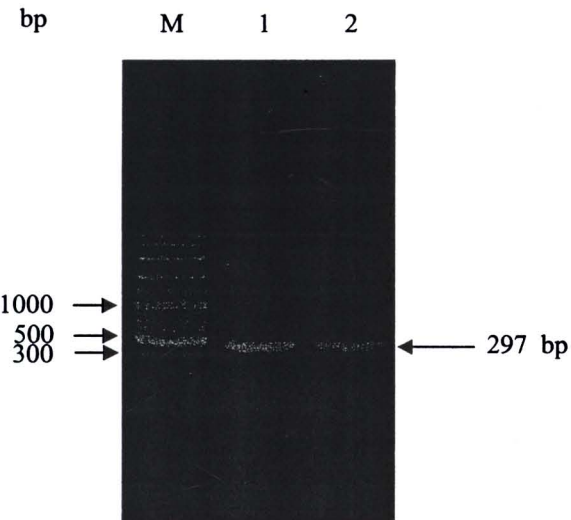
ภาพที่ 3 ลำดับนิวคลีโอไทด์ของยีนอะมิเดสของ *E. aerogenes* ที่หาได้เมื่อใช้คู่ดีเจนเนอเรชีฟิรเมอร์ EnAmi3 และ EnAmi4 และลำดับกรดอะมิโนที่คาดเดาจากลำดับนิวคลีโอไทด์ที่หาได้

ตารางที่ 3 ผล BLASTn ของลำดับนิวคลีโอไทด์ที่หาได้จากคู่ดีเจนเนอเรชีฟิรเมอร์ EnAmi3 และ EnAmi4 เทียบกับฐานข้อมูลโลก

ยีนที่พบความเหมือน	แหล่งของยีน	ความเหมือน (%)	Accession no.
Putative amidase-type enzyme	<i>Klebsiella pneumoniae</i> NTUH-K2044	86	AP006725.1
Nitrilase/cyanide hydratase	<i>Enterobacter cloacae</i> SCF1	85	CP002272.1
Putative amidase-type enzyme	<i>Klebsiella pneumoniae</i> subsp. <i>pneumoniae</i> MGH 78578	85	CP000647.1
Hydrolase, C-N family	<i>Klebsiella pneumoniae</i> 342	85	CP000964.1
Nitrilase/cyanide hydratase	<i>Klebsiella variicola</i> At-22	84	CP001891.1
Nitrilase/cyanide hydratase	<i>Enterobacter</i> sp. 638	83	CP000653.1

ตารางที่ 4 ผล BLASTp ของลำดับกรดอะมิโนที่คาดเดาจากลำดับนิวคลีโอไทด์ที่หาได้จากคู่ดีเจนเนอเรชีฟิรเมอร์ EnAmi3 และ EnAmi4 เทียบกับฐานข้อมูลโลก

โปรตีนที่พบความเหมือน	แหล่งของโปรตีน	ความเหมือน (%)	Accession no.
Nitrilase/cyanide hydratase	<i>Enterobacter</i> sp. 638	80	CP000653.1
Predicted amidohydrolase	<i>Enterobacter cloacae</i> subsp. <i>cloacae</i> NCTC 9394	79	FP929040.1
Nitrilase/cyanide hydratase	<i>Klebsiella variicola</i> At-22	78	CP001891.1
Putative amidase-type enzyme	<i>Klebsiella pneumoniae</i> NTUH-K2044	78	AP006725.1
Hydrolase, C-N family	<i>Klebsiella pneumoniae</i> 342	78	CP000964.1
Putative amidase-type enzyme	<i>Klebsiella pneumoniae</i> subsp. <i>pneumoniae</i> MGH 78578	78	CP000647.1



ภาพที่ 4 ผลิตภัณฑ์พิชีอาร์ที่หาได้เมื่อใช้คุณเจนเนอเรชีไฟรเมอร์ EnAmi1 และ EnAmi2; ช่อง M = ดีเอ็นเอมาตรฐาน 100 bp ladder, ช่อง 1-2 = ผลิตภัณฑ์พิชีอาร์เมื่อใช้ดีเอ็นเอแม่แบบกีโตรโน โขนอลดีเอ็นเอที่ตัดด้วยเอนไซม์ตัดจำเพาะ *AhaI* และ *SpeI* ตามลำดับ

```

1 TGGATGGACGGCCGGCCAACCTGCGCCATT CGATCGTCAGCTGGAAAGAAGTGAGCGGG 60
W M D G P A N L R H F D R Q L E E V S G

61 CGCGACATCATTGTGCTGCCTGAGATGTTACTACCGGATTGCCATGGAAGCGCGAAG 120
R D I I V L P E M F T T G F A M E A A K

121 CAGTCGATGCCGCAGGGAGAGGTCGTTGAGTGGATGCTGGCAAAGCGGAGCAGACCAAC 180
Q S M P Q G E V V E W M L A K A E Q T N

181 GCAATGATTGCCGGTAGCGCGGCTTGCAGACCGAACGTGGCCGGTAACCGCTTC TG 240
A M I A G S A A L Q T E R G P V N R F L

241 CTGGTAGAGCCGGCGGTAAAATGCACTTTACGATAAACGTCACCTGTTCCGCATG 297
L V E P G G K M H F Y D K R H L F R M

```

ภาพที่ 5 ลำดับนิวคลีโอไทด์ของยีนอะมิเดสของ *E. aerogenes* ที่หาได้เมื่อใช้คุณเจนเนอเรชีไฟรเมอร์ EnAmi1 และ EnAmi2 และลำดับกรดอะมิโนที่คาดเดาจากลำดับนิวคลีโอไทด์ที่หาได้

ตารางที่ 5 ผล BLASTn ของลำดับนิวคลีโอไทด์ที่หาได้จากคุณเจนเนอเรชีไฟรเมอร์ EnAmi1 และ EnAmi2 เทียบกับฐานข้อมูลโลก

ชื่นที่พบร่วมกัน	แหล่งของยีน	ความเหมือน (%)	Accession no.
Nitrilase/cyanide hydratase	<i>Enterobacter</i> sp. 638	80	CP000653.1
Predicted amidohydrolase	<i>Enterobacter cloacae</i> subsp. <i>cloacae</i> NCTC 9394	79	FP929040.1
Nitrilase/cyanide hydratase	<i>Klebsiella variicola</i> At-22	78	CP001891.1
Putative amidase-type enzyme	<i>Klebsiella pneumoniae</i> subsp. <i>pneumoniae</i> NTUH-K2044	78	AP006725.1
Hydrolase, C-N family	<i>Klebsiella pneumoniae</i> 342	78	CP000964.1
Putative amidase-type enzyme	<i>Klebsiella pneumoniae</i> subsp. <i>pneumoniae</i> MGH 78578	78	CP000647.1

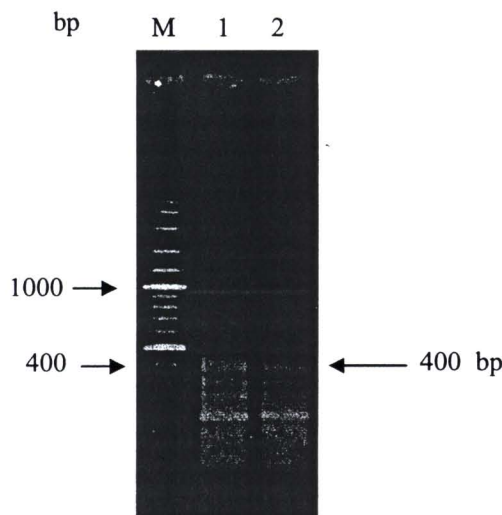
ตารางที่ 6 ผล BLASTp ของลำดับกรดอะมิโนที่คาดเดาจากลำดับนิวคลีโอไทด์ที่หาได้จากคุณเจนเนอเรชีไฟรเมอร์ EnAmi1 และ EnAmi2 เทียบกับฐานข้อมูลโลก

โปรตีนที่พบร่วมกัน	แหล่งของโปรตีน	ความเหมือน (%)	Accession no.
Nitrilase/cyanide hydratase	<i>Enterobacter</i> sp. 638	86	ABP59443.1
C-N hydrolase family	<i>Enterobacter cancerogenus</i>	87	EFC55728.1
Predicted amidohydrolase	<i>Enterobacter cloacae</i> subsp. <i>cloacae</i> NCTC 9394	86	CBK85994.1
C-N hydrolase family	<i>Citrobacter youngae</i> ATCC 292201	83	FE08143.1
Nitrilase/cyanide hydratase	<i>Citrobacter</i> sp. 30_2	82	EEH91669.1
Nitrilase/cyanide hydratase	<i>Enterobacter cloacae</i> SCF1	82	ADO49753.1

CLUSTAL W (1.81) multiple sequence alignment

ภาพที่ 6 การเทียบความเหมือนของลำดับกรดอะมิโนที่คาดเดาจากลำดับนิวคลีโอไทด์ที่หาได้ของยีนอะลิฟิติกอะมิเดสใน *E. aerogenes* ด้วยการใช้ดีเจนเนอเรชีไฟรเมอร์ กับลำดับกรดอะมิโนของยีนอะมิเดสใน *Enterobacter* spp. โดยใช้โปรแกรม CLUSTAL W

เมื่อนำลำดับนิวคลีโอไทด์ช่วงปลายอะมิโนและปลายคาร์บอคชีของยีนอะลิฟาติกอะมิเดสใน *E. aerogenes* ที่หาได้ในภาพที่ 6 มาออกแบบไพรเมอร์ชุดใหม่เพื่อทำการเพิ่มปริมาณชิ้นยืนส่วนที่เหลือตามวิธีที่อธิบายไว้ในหัวข้อ 4.2.3 และ 4.2.4 ผลการทดลองพบว่า การใช้ดีเอ็นเอต้นแบบที่เตรียมได้จากการเชื่อมกันของของโครโนโซมอลดีเอ็นเอที่ผ่านการตัดด้วยเอนไซม์ตัดจำเพาะ *AhaI* และ *NdeI* และใช้คู่ไพรเมอร์ NI-EnAmi1 + CI-EnAmi1 และ NI-EnAmi2 + CI-EnAmi2 ในปฏิกิริยาที่ 1 และ 2 ของการทำพีซีอาร์ย้อนหลังแบบจำเพาะตามลำดับ ให้ผลิตภัณฑ์พีซีอาร์ขนาด 400 คู่เบส (ภาพที่ 7 และภาพที่ 8) ขณะที่การใช้คู่ไพรเมอร์ NI-EnAmi3 + CI-EnAmi1 และ NI-EnAmi4 + CI-EnAmi2 ในปฏิกิริยาที่ 1 และ 2 ตามลำดับ ร่วมกับดีเอ็นเอต้นแบบที่เตรียมได้จากการเชื่อมกันของของโครโนโซมอลดีเอ็นเอที่ผ่านการตัดด้วยเอนไซม์ตัดจำเพาะ *SaI* ให้ผลิตภัณฑ์พีซีอาร์ขนาด 220 คู่เบส (ภาพที่ 9) ซึ่งเป็นลำดับนิวคลีโอไทด์ในช่วงกลางและช่วงปลายคาร์บอคชีของยีนอะลิฟาติกอะมิเดสของ *E. aerogenes* (ภาพที่ 10)



ภาพที่ 7 ผลิตภัณฑ์พีซีอาร์ย้อนกลับแบบปฏิกิริยาที่ 2 ที่หาได เมื่อใช้คู่ไพรเมอร์ NI-EnAmi2 + CI-EnAmi2 ทำปฏิกิริยา; ช่อง M = ดีเอ็นเอมาตรฐาน 100 bp ladder, ช่อง 1-2 = ผลิตภัณฑ์พีซีอาร์เมื่อใช้ดีเอ็นเอต้นแบบที่เตรียมได้จากการเชื่อมกันของของโครโนโซมอลดีเอ็นเอที่ผ่านการตัดด้วยเอนไซม์ตัดจำเพาะ *AhaI* และ *NdeI* ตามลำดับ

1 GAAGTGAGCGGGCGCAGACATCATTGTGCTGCCTGAGATGTTACTACCGGATTGCCATG 60
 E V S G R D I I V L P E M F T T G F A M

61 GAAGCGCGAAGCAGTCGATGCCGCAGGGAGAGGTGTTGAGTGGATGCTGGCGAAAGCG 120
 E A A K Q S M P Q G E V V E W M A K A E

121 GAGCAGACCAACGCAATGATTGCCGGTAGCGTGGCCTTGCAGACCGAACGTGGCCCGGTG 180
 Q T N A M I A G S V A L L Q T E R G P V

181 AACCGCTTCCTGCTGGTAGAGCCCCGGTAAAATGCACTTTACGATAAGCGTCACCTG 240
 N R F L L V E P G G K M H F Y D K R H L

241 TTCCGCATGGTGGATGAGCATACCATTATGAGGCAGGTACTGAGCGAGTGGCTTGAA 300
 F R M V D E H H H Y E A G T E R V V F E

301 TGGCGTGGCTGGCGTATCCTA 321
 W R G W R I L

ภาพที่ 8 ลำดับนิวคลีโอไทด์ของยีนอะมิเดสของ *E. aerogenes* ที่หาได้เมื่อใช้คู่ไฟรเมอร์ NI-EnAmi1 + CI-EnAmi1 และ NI-EnAmi2 + CI-EnAmi2 ในปฏิกิริยาที่ 1 และ 2 ของการทำพีซีอาร์ย้อนหลังแบบจำเพาะ และ ลำดับกรดอะมิโนที่คาดเดาจากลำดับนิวคลีโอไทด์ที่หาได้

1 CAGGAGTATCGCGAAAAATTCCCGGCCTGGCAGGATGCCATCCCTCACAAATCGGCTAA 60
 Q E Y R E K F P A W Q D A D P F T I G Stop

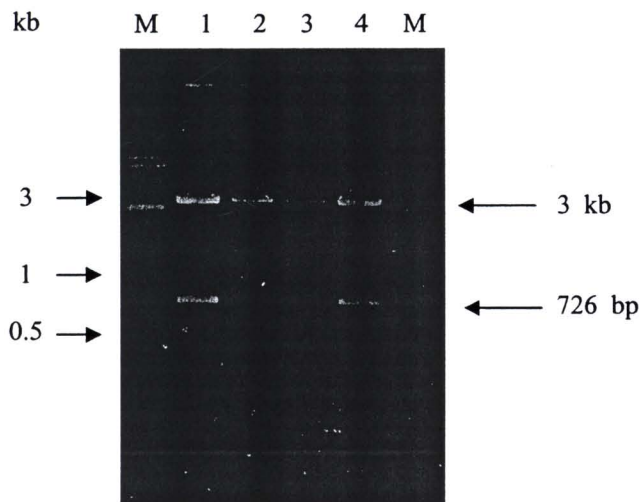
ภาพที่ 9 ลำดับนิวคลีโอไทด์ของยีนอะมิเดสของ *E. aerogenes* ที่หาได้เมื่อใช้คู่ไฟรเมอร์ NI-EnAmi3 + CI-EnAmi1 และ NI-EnAmi4 + CI-EnAmi2 ในปฏิกิริยาที่ 1 และ 2 ของการทำพีซีอาร์ย้อนหลังแบบจำเพาะ และ ลำดับกรดอะมิโนที่คาดเดาจากลำดับนิวคลีโอไทด์ที่หาได้

CLUSTAL W (1.81) multiple sequence alignment

Ecancerogenus_ATCC35316	-----	-MDGPANLRHFDRQLEEITGRDVIVLPEMF
Ecloacae_subsp.cloacae_NCTC939	-----	-MDGPANLRHFDRQLEEITGRDVIVLPEMF
Enterobacter_CP000653	-----	-MPGLKITLLQQPLVWMDGPANLRHFDRQLEEISGRDVIVLPEMF
Enterobacter_NC_009436	-----	-MPGLKITLLQQPLVWMDGPANLRHFDRQLEEISGRDVIVLPEMF
Enterobacter_638	-----	-MPGLKITLLQQPLVWMDGPANLRHFDRQLEEISGRDVIVLPEMF
Ecloacae_SCF1	-----	-MPGLKITLLQQPLVWMDGPANLRHFDRQLEGIQGRDIIVLPEMF
Known	-----	EVSGRDIIIVLPEMF : *;*****
Ecancerogenus_ATCC35316	TTGFAMEAAAKQSMPQDDVVAVMHAKRQTNALIAGSAALQTERGAVNRLF	
Ecloacae_subsp.cloacae_NCTC939	TTGFAMEAAAKQSMPQDEVVAVMHARAQETNALIAGSVALQTGRGPVNRLF	
Enterobacter_CP000653	TTGFAMEAAAKQSPLQDDVVAVMHTKAQQTNALVAGSAALQTERGPVNRLF	
Enterobacter_NC_009436	TTGFAMEAAAKQSPLQDDVVAVMHTKAQQTNALVAGSAALQTERGPVNRLF	
Enterobacter_638	TTGFAMEAAKQSPLQDDVVAVMHTKAQQTNALVAGSAALQTERGPVNRLF	
Ecloacae_SCF1	TTGFAMEAAATQSPLPNDVVMMWMSKARQTNALIAGSAALQVERGPVNRLF	
Known	*****,*;*:;** * :*;*****;****,***,*,****	
Ecancerogenus_ATCC35316	LVEPEGNVHVFYDKRHLFRMADEHHHYEAGNERVVFEEWRGWRILPLVCYDL	
Ecloacae_subsp.cloacae_NCTC939	LVEPEGKVHVFYDKRHLFRMADEHQHYEAGSERVVFEEWRGWRILPLVCYDL	
Enterobacter_CP000653	LVEPDGTLHVFYDKRHLFRMADEHHHYEAGHERVIFEEWRGWRILPLVCYDL	
Enterobacter_NC_009436	LVEPDGTLHVFYDKRHLFRMADEHHHYEAGHERVIFEEWRGWRILPLVCYDL	
Enterobacter_638	LVEPDGTVHRYDKRHLFRMADEHHHYEAGHERVIFEEWRGWRILPLVCYDL	
Ecloacae_SCF1	LVEPGKGMHFYDKRHLFRMVDEHHHYEAGTERVVFEEWRGWRIL-----	
Known	***** * ;* *****;*****;*****;*****;*****;*****	
Ecancerogenus_ATCC35316	RFPVWSRNRRDDYLALYVANWPAPRSLHWQALLTARAIENQAYVAGCNRV	
Ecloacae_subsp.cloacae_NCTC939	RFPVWSRNRRNDYDYLALYVANWPAPRSLHWQALLTARAIENQAYVAGCNRV	
Enterobacter_CP000653	RFPVWSRNRRNDYDYLALYVANWPAPRSLHWQALLVARAIENQAYVAGCNRV	
Enterobacter_NC_009436	RFPVWSRNRRNDYDYLALYVANWPAPRSLHWQALLVARAIENQAYVAGCNRV	
Enterobacter_638	RFPVWSRNRRNDYDYLALYVANWPAPRSLHWQALLVARAIENQAYVAGCNRV	
Ecloacae_SCF1	RFPVWSRNRRGDYLALYVANWPAPRSLHWQALLVARAIENLAYVAGCNRV	
Known	-----	
Ecancerogenus_ATCC35316	GTDGNHHYRGDSRVNPQGEIIATAEPHQATRIDAELSITALKYREKF	
Ecloacae_subsp.cloacae_NCTC939	GTDGNHHYRGDSRVISPQGEIIATAEPHQATRIDAELSITALKYREKF	
Enterobacter_CP000653	GTDGNHHYRGDSRVTPQGEILATAEAHQATRIDAELSITALKYREKF	
Enterobacter_NC_009436	GTDGNHHYRGDSRVTPQGEILATAEAHQATRIDAELSITALKYREKF	
Enterobacter_638	GTDGNHHYRGDSRVTPQGEILATAEAHQATRIDAELSITALKYREKF	
Ecloacae_SCF1	GTDGNHHYRGDSRVSPQGEILATADPHQTRIDAELSITALKYREKF	
Known	-----QEYREKF : *****	
Ecancerogenus_ATCC35316	PAWQDADPFSIG	
Ecloacae_subsp.cloacae_NCTC939	PAWQDADPFSIG	
Enterobacter_CP000653	PAWQDADPFSIG	
Enterobacter_NC_009436	PAWQDADPFSIG	
Enterobacter_638	PAWQDADPFSIG	
Ecloacae_SCF1	PAWQDADPFTLD	
Known	PAWQDADPFTIG *****:*	

ภาพที่ 10 การเทียบความเหมือนของลำดับกรดอะมิโนที่คาดเดาจากลำดับนิวคลีโอไทด์ที่หาได้ของยีนอะลิฟติกอะมิเดสใน *E. aerogenes* เมื่อวิเคราะห์โดยเทคนิคพีซีอาร์บีอันหลังแบบจำเพาะกับลำดับกรดอะมิโนของยีนอะมิเดสใน *Enterobacter* spp. โดยใช้โปรแกรม CLUSTAL W

เมื่อนำลำดับนิวคลีโอไทด์ที่ได้ทั้งหมดมาหานิเวณช้อนทับ (Overlap region) และเพิ่มปริมาณยีนอะลิฟ่าติกอะมิเดสใน *E. aerogenes* โดยเทคนิคพีซีอาร์และโคลนเข้า pTG19-T (ภาพที่ 11) เพื่อนำไปหาลำดับนิวคลีโอไทด์ทั้งหมดของยีนอะลิฟ่าติกอะมิเดสอีกรัง พบร่องลำดับนิวคลีโอไทด์ขนาดทั้งสิ้น 726 บีบีพี ที่สามารถคาดเดาเป็นกรดอะมิโนได้ทั้งหมด 242 ตัว (ภาพที่ 12) โดยมีความเหมือนกันบนไซน์อะมิเดสของแบคทีเรียในตระกูล Enterobacteriaceae ที่ร้อยละความเหมือนมากกว่า 95% (ตารางที่ 7 และตารางที่ 8) การเทียบความเหมือนกับยีนอะมิเดสของ *Enterobacter* spp. แสดงในภาพที่ 13



ภาพที่ 11 ผลการตัดพลาสมิດสายพสุ pTG19-T ที่บรรจุยีนอะมิเดสของ *E. aerogenes* ด้วยเยนไซม์ตัดจำเพาะ *Bam*HI; ช่อง M = ดีเอ็นเอมาตรฐาน 1 kb ladder, ช่อง 1-4 = พลาสมิດสายพสุ pTG19-T ที่ตัดด้วยเยนไซม์ตัดจำเพาะ *Bam*HI



1 ATGGACGGCCCGGCCAACCTGCGCCATTCGATCGTCAGCTGGAAGAAGTGAGCGGGCGC 60
 M D G P A N L R H F D R Q L E E V S G R
 61 GACATCATTGTGCTGCCTGAGATGTTACTACCGGATTTGCCATGGAAGCGGCGAAGCAG 120
 D I I V L P E M F T T G F A M E A A K Q
 121 TCGATGCCGCAGGGAGAGGTCGTTGAGTGGATGCTGGCGAAAGCGGAGCAGACCAACGCA 180
 S M P Q G E V V E W M L A K A E Q T N A
 181 ATGATTGCCGGTAGCGCGGCCCTGCAGACCGAACGTGGCCCGGTGAACCGTTCTGCTG 240
 M I A G S A A L Q T E R G P V N R F L L
 241 GTAGAGCCCGGCGGTAAAATGCACTTTACGATAAGCGTCACCTGTTCCGCATGGCGGAT 300
 V E P G G K M H F Y D K R H L F R M A D
 301 GAGCATCACCATATGAGGCAGGTACTGAGCGAGTGGTCTTGAATGGCGCGCTGGCGA 360
 E H H H Y E A G T E R V V F E W R G W R
 361 ATTCTGCCGCTGGTATGTTATGACCTGCGCTTCCGGTATGGTCGCGTAACCACAAACGAT 420
 I L P L V C Y D L R F P V W S R N H N D
 421 TACGACCTGGCGCTGTATGTCGCTAACCTGGCCAGCCCCGCGTTCGCTGCACTGGCAATCG 480
 Y D L A L Y V A N W P A P R S L H W Q S
 481 CTGCTGGTCGCCAGAGCAATTGAAAACCAGGCCCTACGTCGCGGCTGCAACCGCGTCGGC 540
 L L V A R A I E N Q A Y V A G C N R V G
 541 ACCGATGGTAACGGCCACCATTATCGGGCGATAGCCGTATCATCAGCCCACAGGGAGAG 600
 T D G N G H H Y R G D S R I I S P Q G E
 601 ATTATCGCTACCGCCGAACCGCATCAGGCGACGCGGCTCGATGCCATCTGCGTTGGCC 660
 I I A T A E P H Q A T R L D A D L S L A
 661 GCGCTGCAGGAGTATCGCAGAAAATTCCCGGCCTGGCAGGATGCCATCCCTTCACAATC 720
 A L Q E Y R E K F P A W Q D A D P F T I
 721 GGCTAA 726
 G *

ภาพที่ 12 ลำดับนิวคลีโอไทด์และลำดับกรดอะมิโนของยีนอะมิเดสของ *E. aerogenes* ที่หาได้ในงานวิจัยนี้

ตารางที่ 7 ผล BLASTn ของลำดับนิวคลีโอไทด์ของยีนอะมิเดสของ *E. aerogenes* ที่หาได้ในงานวิจัยนี้เทียบกับฐานข้อมูลโลก

ยีนที่พบความเหมือน	แหล่งของยีน	ความเหมือน (%)	Accession no.
C-N hydrolase family amidase	<i>Enterobacter aerogenes</i> KCTC 2190	97	CP002824.1
Putative amidase-type enzyme	<i>Klebsiella pneumoniae</i> subsp. <i>pneumoniae</i> NTUH-K2044	81	AP006725.1
Putative amidase-type enzyme	<i>Klebsiella pneumoniae</i> subsp. <i>pneumoniae</i> MGH 78578	81	CP000647.1
Hydrolase, C-N family	<i>Klebsiella pneumoniae</i> 342	81	CP00964.1
Nitrilase/cyanide hydratase	<i>Enterobacter</i> sp. 638	81	CP000653.1
Nitrilase/cyanide hydratase	<i>Klebsiella variicola</i> At-22	81	CP001891.1
Nitrilase/cyanide hydratase	<i>Enterobacter cloacae</i> SCF1	80	CP002272.1

ตารางที่ 8 ผล BLASTp ของลำดับกรดอะมิโนที่คาดเดาจากยีนอะมิเดสของ *E. aerogenes* ที่หาได้ในงานวิจัยนี้เทียบกับฐานข้อมูลโลก

โปรตีนที่พบความเหมือน	แหล่งของโปรตีน	ความเหมือน (%)	Accession no.
C-N hydrolase family amidase	<i>Enterobacter aerogenes</i> KCTC 2190	99	AEG97287.1
C-N hydrolase family amidase	<i>Enterobacter cancerogenus</i> ATCC 35316	89	EFC55728.1
Nitrilase/cyanide hydratase	<i>Enterobacter</i> sp. 638	88	ABP59443.1
Predicted amidohydrolase	<i>Enterobacter cloacae</i> subsp. <i>cloacae</i> NCTC 9394	88	CBK85994.1
C-N hydrolase	<i>Enterobacter hormaechei</i> ATCC 49162	89	EGK61946.1
C-N hydrolase	<i>Klebsiella pneumoniae</i> subsp. <i>rhinoscleromatis</i> ATCC 13884	88	ZP_06017127.1

CLUSTAL W (1.81) multiple sequence alignment

Ecancerogenus_ATCC35316 -----MDGPANLRHFDRQLEEITGRDVIVLPEMF
Ecloacae_subsp.cloacae_NCTC939 -----MDGPANLRHFDRQLEEITGRDVIVLPEMF
Enterobacter_CP000653 -----MPGLKITLLQQPLVWMDGPANLRHFDRQLEEISGRDVIVLPEMF
Enterobacter_NC_009436 -----MPGLKITLLQQPLVWMDGPANLRHFDRQLEEISGRDVIVLPEMF
Enterobacter_638 -----MPGLKITLLQQPLVWMDGPANLRHFDRQLEEISGRDVIVLPEMF
Ecloacae_SCF1 -----MPGLKITLLQQPLVWMDGPANLRHFDRQLEGIQGRDIVIVLPEMF
Known -----WMDGPANLRHFDRQLEEVSGRDIVIVLPEMF
***** : ****:*****

Ecancerogenous_ATCC35316
Ecloacae_subsp.cloacae_NCTC939
Enterobacter_CP000653
Enterobacter_NC_009436
Enterobacter_638
Ecloacae_SCF1
Known

TTGFAMEAAKQSMPQDDVVAWMHAKRQTNALIAGSAALQTERGPVNRFL
TTGFAMEAAKQSMPQDEVVVAWMHARAQETNALIAGSVALQTGRGPVNRFL
TTGFAMEAAKQSPLQDDVVAWMHTKAQQTNAVLAGSAALQTERGPVNRFL
TTGFAMEAAKQSPLQDDVVAWMHTKAQQTNAVLAGSAALQTERGPVNRFL
TTGFAMEAAKQSPLQDDVVAWMHTKAQQTNAVLAGSAALQTERGPVNRFL
TTGFAMEAAKQSPLQDDVVAWMHTKAQQTNAVLAGSAALQTERGPVNRFL
TTGFAMEAAATQSPLPENDVVMWMSKARQTNALIAGSAALQVERGPVNRFL
TTGFAMEAAKQSMPQGEVVEWMLAKAERQTNAMIAQSAALQTERGPVNRFL

Ecancerogenus_ATCC35316	LVEPEGNVHFYDKRHLFRMADEHHHYEAGNERVVF EWWRGWRILPLVCYDL
Ecloacae_subsp.cloacae_NCTC939	LVEPEGKVHFYDKRHLFRMADEHQHYEAGSERVVF EWWRGWRILPLVCYDL
Enterobacter_CP000653	LVEPDGTILHFYDKRHLFRMADEHHHYEAGHERVIFEWWRGWRILPLVCYDL
Enterobacter_NC_009436	LVEPDGTILHFYDKRHLFRMADEHHHYEAGHERVIFEWWRGWRILPLVCYDL
Enterobacter_638	LVEPDGTILHFYDKRHLFRMADEHHHYEAGHERVIFEWWRGWRILPLVCYDL
Ecloacae_SCF1	LVEPDGRVRYDKRHLFRMADEHHHYEAGNERVIFEWWRGWRILPLVCYDL
Known	LVEPGGKMHFYDKRHLFRMVDEHHHYEAGTERVVF EWWRGWRILPLVCYDL
	***** * ; * *****:*****:*****:*****:*****:*****:*****:*****:*****

Ecancerogenus_ATCC35316
Ecloacae_subsp.cloacae_NCTC939
Enterobacter_CP000653
Enterobacter_NC_009436
Enterobacter_638
Ecloacae_SCF1
Known

RFPVWSRNRNDYDLALYVANWPAPRSLSHWQALLTARAIEHQAYVAGCNRV
RFPVWSRNRNDYDLALYVANWPAPRSLSHWQALLTARAIEHQAYVAGCNRV
RFPVWSRNRNDYDLALYVANWPAPRSLSHWQALLTARAIEHQAYVAGCNRV
RFPVWSRNRNDYDLALYVANWPAPRSLSHWQALLTARAIEHQAYVAGCNRV
RFPVWSRNRNDYDLALYVANWPAPRSLSHWQALLTARAIEHQAYVAGCNRV
RFPVWSRNRNDYDLALYVANWPAPRSLSHWQALLTARAIEHQAYVAGCNRV
RFPVWSRNRNDYDLALYVANWPAPRSLSHWQALLTARAIEHQAYVAGCNRV
RFPVWSRNRRGDYDLALYVANWPAPRSLSHWQALLVARAIEHQAYVAGCNRV
RFPVWSRNHNHDYDLALYVANWPAPRSLSHWQSLLVARAIEHQAYVAGCNRV
***** : ***** : ***** : * . ***** . *****

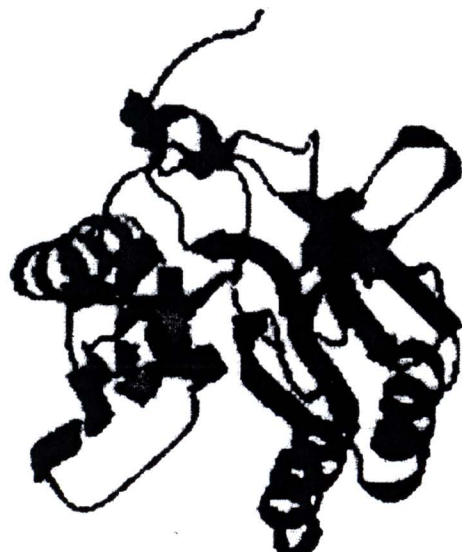
Ecancerogenus_ATCC35316
Ecloacae_subsp.cloacae_NCTC939
Enterobacter_CP000653
Enterobacter_NC_009436
Enterobacter_638
Ecloacae_SCFI
Known

Ecancerogenus_ATCC35316 PAWQDADPFSIG
Ecloacae_subsp.cloacae_NCTC939 PAWQDADPFSIG
Enterobacter_CP000653 PAWQDADPFSIG
Enterobacter_NC_009436 PAWQDADPFSIG
Enterobacter_638 PAWQDADPFSIG
Ecloacae_SCF1 PAWQDADPFTLD
Known PAWQDADPFTIG
***** : *

ภาพที่ 13 การเทียบความเหมือนของลำดับกรดอะมิโนที่คาดเดาจากลำดับนิวคลีโอไทด์ของยีนอะลิฟาติกอะมิเดสใน *E. aerogenes* ที่หาได้ในงานวิจัยนี้ กับลำดับกรดอะมิโนของยีนอะมิเดสใน *Enterobacter* spp. โดยใช้โปรแกรม CLUSTAL W

4.3 การคาดเดาโครงสร้างสามมิติของเอนไซม์อะมิเดสจาก *E. aerogenes*

เมื่อใช้โปรแกรมสำเร็จ PDB คาดเดาโครงสร้างสามมิติของเอนไซม์อะมิเดสจาก *E. aerogenes* โดยอาศัยหลักการสร้างแบบจำลองความเหมือน พบร่วมกับเอนไซม์อะมิเดสที่ได้มีโครงสร้างเป็นโปรตีนก้อนกลมแบบ α/β ที่ประกอบด้วย แอลfa-ไฮลิกซ์ (α -helix) จำนวน 6 เกลี่ยงและบีตา-ชีท (β -sheet) 6 สายที่จับกันเป็นแผ่นเรียบ 2 แผ่น แสดงดังภาพที่ 14 เมื่อวิเคราะห์ความคล้ายคลึงของลำดับนิวคลีโอไทด์และโครงสร้างสามมิติที่คาดเดาได้พบว่า เอนไซม์อะมิเดสจาก *E. aerogenes* มีความคล้ายคลึงร้อยละ 45 กับโครงสร้างสามมิติของเอนไซม์ในตราเลส (Nitrilase) จาก *Xanthomonas campestris* ซึ่งเป็นเอนไซม์ที่ตัดพันธะระหว่างอะตอมคาร์บอนและไฮโตรเจนที่ไม่ใช่พันธะเพปไทด์ (Chin et al., 2007)



ภาพที่ 14 โครงสร้างสามมิติของเอนไซม์อะมิเดสจาก *E. aerogenes* ที่หาได้จากการสร้างแบบจำลองความเหมือนด้วยโปรแกรม PDB